

## СПОНТАННАЯ СУБНАНОСЕКУНДНАЯ ЭМИССИЯ ЭЛЕКТРОНОВ ИЗ МЕТАЛЛОВ В ПОСТОЯННЫХ ЭЛЕКТРИЧЕСКИХ ПОЛЯХ

А.М. А в и л о в, В.Д. В о л о в и к

При изучении эффектов перезарядки изолированного подвижного металлического электрода, расположенного между высоковольтными обкладками вакуумного конденсатора, были обнаружены спонтанные субнаносекундные импульсы электронного тока, предшествующие и сопровождающие рождение вакуумной искры и разлет ее плазмы [1]. Однако очевидные трудности методического характера не позволили тогда измерить вольт-амперную характеристику (ВАХ) спонтанной субнаносекундной эмиссии электронов (ССЭЭ) в постоянных электрических полях.

Настоящая работа посвящена изучению ВАХ ССЭЭ, возникающей на подвижном электрически изолированном электроде [1], выполненном в виде медного шарика массой 4.5 г, расположенном на подвесе из тонкой пластинки слюды между медными обкладками конденсатора. Между обкладками конденсатора может быть создано разряжение  $\sim 10^{-6}$  торр или может поддерживаться давление таких газов как азот, воздух, фреон на уровне 200–800 торр. Разность потенциалов между обкладками-электродами создавалась источником высокого напряжения типа ИВН-100, так что на разрядном электроде потенциал был положительным. Импульсы ССЭЭ регистрировались стробоскопическим осциллографом С7-11 после прохождения поляризационного СВЧ-аттенюатора типа ДЗ-33А, полоса пропускания которого составляет 8.5–12.5 ГГц. Длина коаксиального кабеля, подключенного к ДЗ-33А, составляла 0.6 м. Полоса пропускания ограничивалась частотой 8.5 ГГц, близкой к границе чувствительности С7-11. Для определения расстояния между полюсом шарика и поверхностью разрядного электрода, при котором возникают импульсы ССЭЭ, измерялось время запаздывания акустического импульса от „соударения“ шарика с разрядным электродом по отношению к моменту возникновения между ними искры. Акустический сигнал принимался пьезодатчиком, выполненным на основе керамики ЦТС-19, укрепленным через линию задержки к тыльной поверхности разрядного электрода. Полоса пропускания акустического приемника составляла  $\sim 3$  МГц. Измерения проведены на осциллографе С1-75.

Результаты измерения ВАХ ССЭЭ представлены на рис. 1, а данные о времени запаздывания „соударения“ шарика с разрядным электродом по отношению к искровому пробое промежутка показаны на рис. 2. Кривые 1 на этих рисунках относятся к измерениям,

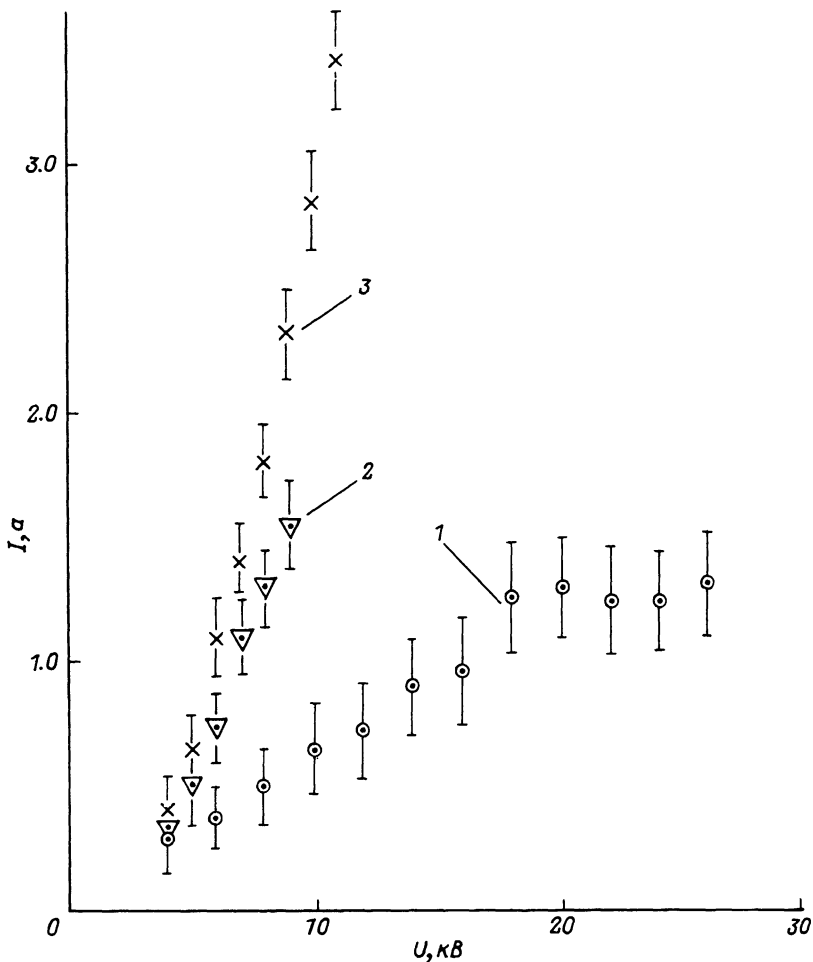


Рис. 1.

приведенным в вакууме, а кривые 2 и 3 соответствуют измерениям в азоте и фреоне-22.

На участке роста тока ССЭЭ в вакууме в интервале разностей потенциалов между электродами  $U = 4-18$  кВ наблюдаемую зависимость между величиной тока  $I$  и  $U$  можно представить в виде  $I \sim U^{\gamma}$ ,  $\gamma = 0.75$ . Затем в интервале  $U = 18-20$  кВ наступает насыщение тока, и его величина перестает зависеть от  $U$ . Такое поведение ВАХ ССЭЭ в вакууме, отличное от закона „3/2“ [2], можно объяснить нестационарностью процесса эмиссии электронов при резко неоднородном электрическом поле. Резкий рост тока при

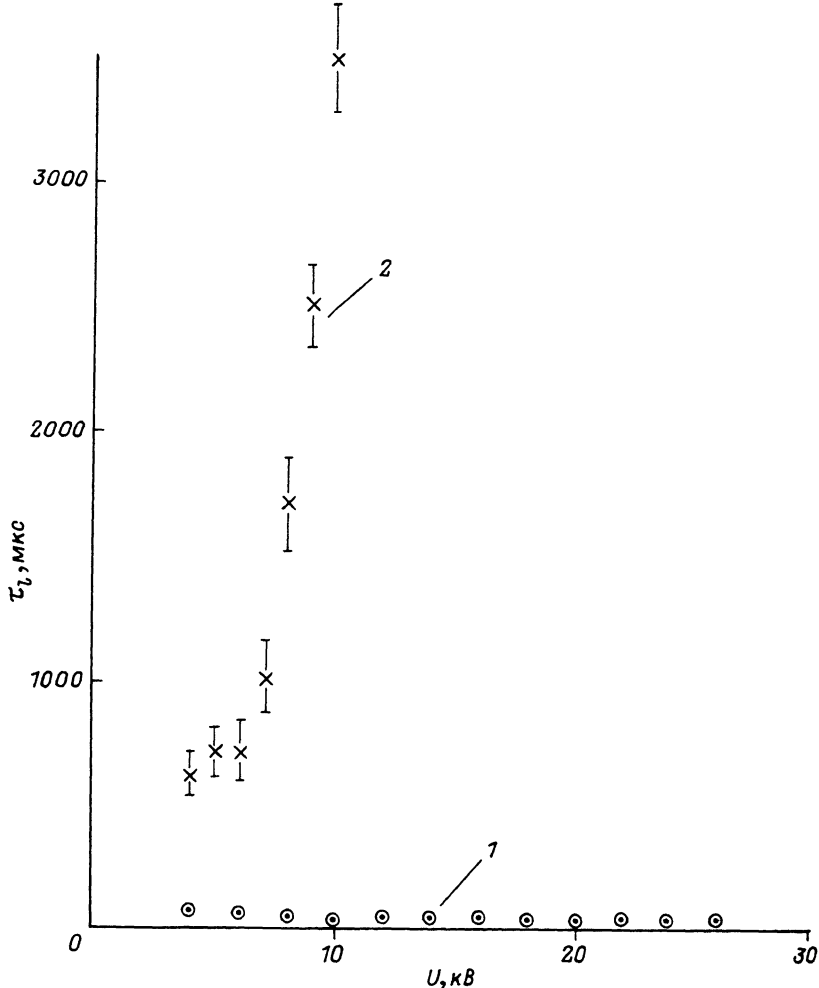


Рис. 2.

ССЭЭ приводит к тому, что электроны „не успевают“ перемещаться к области эмиссии. Резкая неоднородность поля приводит к возникновению вблизи эмиссионного центра плотного облака электронов малых энергий, экранирующих его от проникновения электрического поля. Если излучение импульсов ССЭЭ происходит из эмиссионного центра шарика, находящегося на расстоянии  $X_0$  от разрядного электрода, а разность потенциалов между ними  $U_0$ , то длительность их фронта  $t_f = X_0(m/2eU)^{1/2}$  обусловлена временем прохождения электронов ( $m$  – масса покоя электрона,  $e$  – заряд его) от

поверхности шарика до разрядного электрода. Если  $t_f$  сравнимо со временем прохождения электронов через потенциальный барьер  $\sim \delta/s$  ( $s$  — скорость звука в металле, а  $\delta$  — ширина потенциального барьера), то силовые линии электрического поля замкнутся на вышедшее за время  $t_f$  облако электронов, и поле в данном активном центре резко уменьшится. Для того, чтобы доказать роль объемного заряда в экранировке поля на активном центре шарика, изучались ВАХ ССЭЭ в плотных газах. Если положить зависимость  $I$  от  $U$  в виде  $I \sim U^\gamma$ , то для азота при давлении 760 торр  $\gamma \approx 1.85$ , а для фреона  $\gamma \approx 2.1$ . Таким образом не только компенсируется объемный заряд, но и за счет ударной ионизации [3] резко нарастает величина тока. Регистрируемые импульсы ССЭЭ в газах не удлиняются из-за действия фотоионизационного механизма „передачи“ электронов от подвижного электрода к разрядному [3], возникающему в полях  $E \geq 10^8$  В/см. В полях такой величины в законе Фаулера–Нордгейма существенным является зависимость автоэмиссионного тока  $I$  от квадрата напряженности электрического поля  $E$ , т.е.  $I \sim E^2$  [4]. Так как  $E = 4\pi Q/r_0^2$  где  $Q$  — величина заряда на поверхности эмиссионного центра шарика, а  $r_0$  — радиус этого центра, то  $I \sim Q^2$ . Отсюда следует оценка длительности импульса  $t$  ССЭЭ:  $I = dQ/dt \sim Q^2$  и  $t \sim |Q^{-1}|$ . Полагая, что зарядка шарика обусловлена взрывной эмиссией микроострий на зарядном электроде [5], т.е.  $Q \sim U^2$ , а  $t \sim U^{-2}$ . Из работы [1] косвенно следует, что длительность импульсов ССЭЭ в вакууме не превышает времени электрон-фононной релаксации  $t \lesssim t_{ef} = dc/j^2 \chi_0$  [6]. Здесь  $j$  — плотность тока,  $\chi_0$  — температурный коэффициент удельного электросопротивления,  $d$  — плотность,  $c$  — удельная теплоемкость металла шарика. При минимальной плотности тока  $j = j_{min} = en_s$ , равной для меди  $j_{min} \approx 5 \cdot 10^8$  А/см<sup>2</sup>,  $t_{ef} \approx 6 \cdot 10^{-11}$  с. Здесь  $n$  — плотность электронов проводимости в металле шарика. Для характерных расстояний  $x_0 \approx 3 \cdot 10^{-3}$  см ближайшей точки поверхности шарика от разрядного электрода в вакууме, при  $U_0 = 3$  кВ и  $t_f \approx 9 \cdot 10^{-13}$  с. Таким образом,  $t_f \ll t \lesssim t_{ef}$ .

Возникновение интенсивной ССЭЭ в металлах связано с превышением энергии, сообщаемой электронам в поле  $E_c$  работы выхода  $W$ , разной для различных ориентаций кристаллитов на поверхности шарика, для зон инородных включений. ССЭЭ начинается при достижении поля  $E$  величины  $E_c = W/e\delta \approx 10^8$  В/см для  $W \approx 3$  эВ и  $\delta \approx 10^{-8}$  см.

Кривая 1 на рис. 2 свидетельствует о том, что в вакууме расстояние  $X_0$  возникновения искрового пробоя не зависит от  $U$ . Действительно, величина потенциала, действующего на поверхности шарика вблизи активного эмиттирующего центра  $\varphi = 4X_0 ne/r_0^2$ , а напряженность электрического поля  $E = \varphi/X_0 \approx 4ne/r_0^2$  не зависит от  $X_0$ . Этот результат хорошо согласуется с данными работы [7]. За счет эффектов фотоионизации в газах расстояние  $X_0$  будет расти с ростом  $U$ , о чем свидетельствует кривая 2 рис. 2. Пересчет от величины времени запаздывания  $\tau_2$  к расстоянию  $X_0$  проводится

в предположении равноускоренного движения шарика и для вакуума  $\chi_0 \approx 3 \cdot 10^{-3}$  см при соударении медных электродов.

Явление ССЭЭ в постоянных электрических полях, по-видимому, не сопровождается взрывом эмиттирующих частей подвижного электрода, возникает в первую очередь в тех его активных центрах, для которых характерна пониженная работа выхода, предшествует возникновению искровых разрядов при малых величинах расстояний между электродами. При этом плотность тока импульсов ССЭЭ, рассчитанная по методике, изложенной в книге [5], превышает  $10^9$  А/см<sup>2</sup>.

### Л и т е р а т у р а

- [1] А в и л о в А.М., В о л о в и к В.Д. - ЖТФ, 1983, т. 53, в. 11, с. 2226-2228.
- [2] А б р а м я н Е.А., А л ь т е р к о п Б.А., К у л е ш о в Г.Д. Интенсивные электронные пучки. М.: Энергоатомиздат, 1984. 229 с.
- [3] Р а й з е р Ю.П. Физика газового заряда. М.: Наука, 1987. 591 с.
- [4] Б р о д с к и й А.М., Г у р е в и ч Ю.Я. Теория электронной эмиссии из металлов. М.: Наука, 1973. 255 с.
- [5] М е с я ц Г.А., П р о с к у р о в с к и й Д.И. Импульсный электрический разряд в вакууме. Новосибирск, Наука, 1984. 256 с.
- [6] К а г а н о в М.И., Л и ф ш и ц И.М., Т а н а г а - р о в Л.В. - ЖЭТФ, 1956, т. 37, № 2(8), с. 232.
- [7] М а р т ы н о в Е.П., И в а н о в В.А. - Радиотехника и электроника, 1969, т. 14, № 11, с. 2005.

Харьковский государственный  
университет им. А.М. Горького

Поступило в Редакцию  
31 мая 1988 г.

Письма в ЖТФ, том 14, вып. 18

26 сентября 1988 г.

### О ПРОИСХОЖДЕНИИ НЕЙТРАЛЬНЫХ КАПЕЛЬ В ИОННЫХ ПУЧКАХ ОТ ЖИДКОМЕТАЛЛИЧЕСКИХ ИСТОЧНИКОВ ИОНОВ

А.И. Г р и г о р ь е в, А.А. З е м с к о в,  
С.О. Ш и р я е в а

В экспериментах по жидкометаллическим источникам ионов (ЖМИИ) неоднократно отмечалось [1, 2], что получаемый ионный пучок состоит из собственно ионов металла, кластеризованных ионов и микрокапелек металла. Причем основной вклад в создание ионного тока (до 99%) вносят ионы и кластеризованные ионы малой массы (с большим значением отношения заряда к массе). Массовый же